

1 Filtre RC double

1. En basse fréquence, un condensateur est équivalent à un interrupteur ouvert. En haute fréquence, un condensateur est équivalent à un interrupteur fermé. D'où, le circuit est un filtre passe-bas.
2. Par une loi des nœuds, et une loi des mailles, on trouve que

$$H(j\omega) = \frac{1}{1 - \left(\frac{\omega}{\omega_0}\right)^2 + j\frac{\omega}{Q \cdot \omega_0}}$$

en notant $\omega_0 = 1/RC$ et $Q = 1/3$

3. On représente le diagramme de BODE du filtre dans la figure ci-dessous.

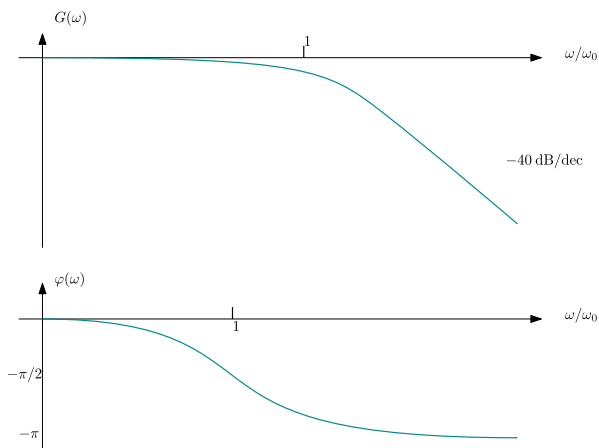


FIGURE 1 – Diagramme de BODE du filtre (échelle logarithmique)

4. On calcule $\omega_0 \simeq 6$ rad/s, ce qui correspond à une fréquence de coupure de 1 kHz. Le signal de sortie est donc

$$s(t) = \frac{2E}{3\pi} \cdot \sin(\omega t),$$

on le représente sur la figure ci-dessous. En effet, on a un déphasage de $-\pi/2$, et un gain valant $1/3$ à $\omega \simeq \omega_0$.

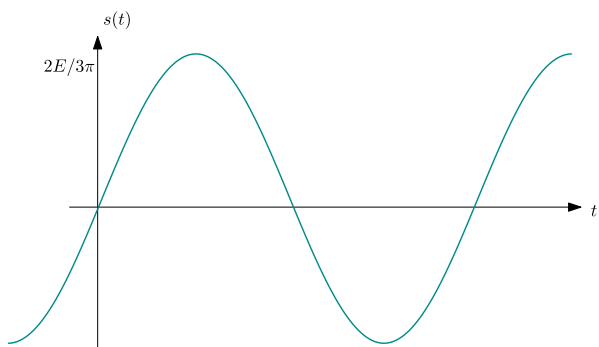


FIGURE 2 – Signal résultant

2 Crampes musculaires

1. La concentration en CO_2 provient de la combustion du di-oxygène dans les cellules (respiration cellulaire).

On calcule le pH :

$$\text{pH} = \text{p}K_a + \log\left(\frac{[\text{HCO}_3^-]}{[\text{CO}_2]}\right).$$

On trouve $\text{pH} \simeq 6,4 + 1 = 7,4$.

Pour le couple $\text{CO}_2/\text{CO}_3^{2-}$, on a $\text{pH} - \text{p}K_a + \log[\text{HCO}_3^-] = \log[\text{CO}_3^{2-}]$.

AN. $[\text{CO}_3^{2-}] = 2,7 \cdot 10^{-5}$ mol.

Autre possibilité : réaliser un diagramme de prédominance.

2. D'après la question précédente, on a montré que la concentration en CO_3^{2-} est négligeable. De plus, la réaction est favorisée. Ainsi, c'est bien la réaction 1 qui est majoritaire.

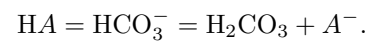
On a

$$\begin{aligned} K^\circ &= \frac{[\text{H}_2\text{CO}_3] \cdot [\text{A}^-]}{[\text{HA}] \cdot [\text{HCO}_3^-]} \\ &= \frac{[\text{H}_2\text{CO}_3] \cdot [\text{A}^-] \cdot [\text{H}_3\text{O}^+]}{[\text{HCO}_3^-] \cdot [\text{HA}] \cdot [\text{H}_3\text{O}^+]} \\ &= K_{A3}/K_{A1} \end{aligned}$$

AN. $K^\circ = 350 \gg 1$.

3. Lors de l'effort, le pH diminue, puis augmente une fois l'effort terminé.

Hypothèse : épuisement d'un des réactifs, en particulier, l'acide lactique. On considère la réaction



En supposant la réaction quasi-totale, on a

$$\begin{aligned} n_f(\text{HA}) &\simeq 0 & n_f(\text{HCO}_3^-) &\simeq 19 \\ n_f(\text{H}_2\text{CO}_3) &\simeq 5,2 & n_f(\text{A}^-) &\simeq 3 \end{aligned}$$

Ainsi, on calcule le pH :

$$\text{pH} = \text{p}K_{A1} + \log(19/5,2) \simeq 7,0.$$

4. On réalise une prise de sang après l'effort, et on réalise un dosage de la base « lactate » par un acide fort.

3 Montage intégrateur

1. D'après la loi des mailles, on a

$$\begin{aligned} e &= u_R + u_C + s \\ &= R \frac{du_C}{dt} + u_C + s. \end{aligned}$$

Or, $s + u_C = 0$, d'où,

$$e = -RC \cdot \frac{ds}{dt}.$$

Ainsi, on obtient que

$$H(j\omega) = j \frac{\omega_0}{\omega},$$

où $\omega_0 = 1/RC$. On représente le diagramme de BODE sur la figure 4.

2. (a) Le diagramme a donc un comportement intégrateur. Mais, si le signal s diverge, alors l'ALI va saturer. Et, pour $\omega = 0$, on a $s \rightarrow +\infty$.
- (b) On change donc le circuit en ajoutant une résistance en parallèle du condensateur, comme montré dans la figure ci-dessous. On note u la tension aux bornes de cette nouvelle résistance.

(c) Lorsque $\omega R'C \gg 1$, la fonction de transfert devient $H'(j\omega) \simeq 1/RC\omega$, ainsi le gain est donc de $G(\omega) \simeq 1/RC\omega$. On peut en déduire

$$s(t) = v_0 \cdot \left(\frac{-R'}{R} \right) + \frac{1}{RC\omega} v_1 \cos(\omega t + \pi/2).$$

On vérifie bien

$$|s(t)| \leq \frac{R'}{R} v_0 + \frac{v_1}{RC\omega} \ll V_{sat},$$

l'ALI ne sature pas.

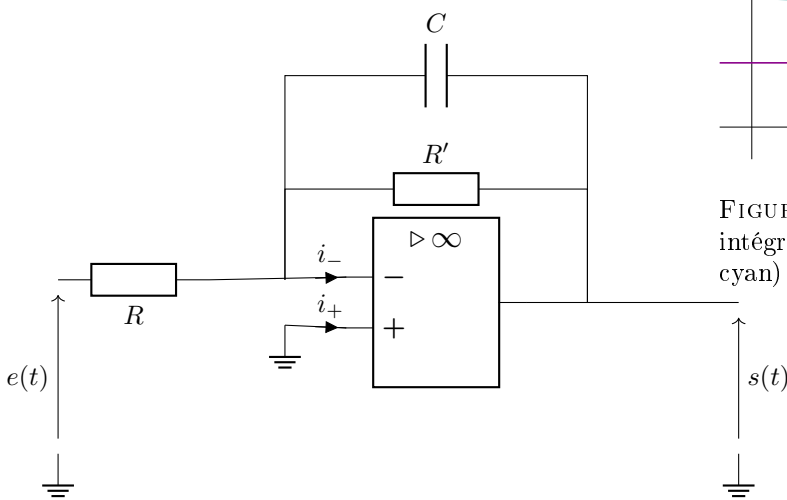


FIGURE 3 – Circuit pseudo-intégrateur

On trouve, par loi des mailles, la relation $e = s \cdot (-R/R' - j\omega RC)$. On en déduit donc l'expression canonique de la fonction de transfert

$$H'(j\omega) = \frac{-R'/R}{1 + j\omega R'C}.$$

Dans le cas $\omega \gg \omega'_0 = 1/R'C$, on simplifie en $H'(j\omega) = -\frac{1}{j\omega} \cdot \frac{1}{RC}$. On représente le diagramme de BODE obtenu sur la figure 4.

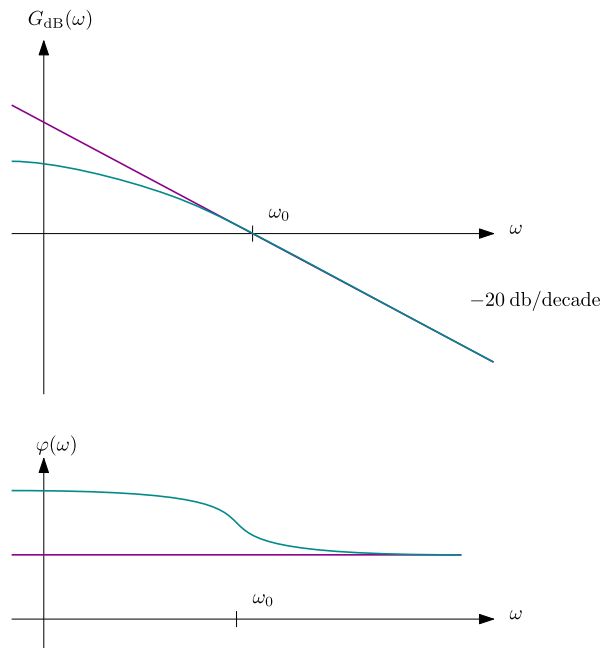


FIGURE 4 – Diagramme de BODE du circuit intégrateur (en violet), et pseudo-intégrateur (en cyan)